

پایش فرآیند مالت‌سازی با استفاده از شبکه عصبی مصنوعی

علیرضا قدس‌ولی^{۱*}- محسن مختاریان^۲- حمید بخش آبادی^۳- فاطمه عرب‌عامریان^۴

تاریخ دریافت: ۱۳۹۰/۹/۲۸

تاریخ پذیرش: ۱۳۹۲/۳/۲۰

چکیده

مالت‌سازی یک فرآیند زیست فناوری پیچیده است که شامل مراحل خیساندن، جوانهزنی و خشک کردن مالت جوانه‌زده در شرایط کنترل شده دما و رطوبت می‌باشد. در این پژوهش پارامترهای فرآیند مالت‌سازی از طریق توابع فعال‌سازی مختلف شبکه عصبی نظری لگاریتم سیگموئید-لگاریتم سیگموئید، تائزانت هیبروبولیک-تائزانت هیبروبولیک، لگاریتم سیگموئید-همانی و تائزانت هیبروبولیک-همانی پیش‌بینی گردید. مقادیر زمان خیساندن (x_1) و زمان جوانه‌زنی (x_2) به عنوان ورودی‌ها و راندمان عصاره گیری گرم (y_1)، راندمان مالت‌سازی (y_2) و فعالیت آنزیمی (β -گلوکاتنаз) (y_3) به عنوان خروجی انتخاب گردید. نتایج نشان داد که استفاده از شبکه عصبی پرسپترون با تابع فعال‌سازی تائزانت هیبروبولیک-همانی با ۱۷ نمونه بهترین نتیجه را در بین کلیه توابع بکار رفته در پیش‌بینی پارامترهای مؤثر در فرآیند مالت سازی داشت. هم‌چنین این شبکه قادر بود مقادیر راندمان عصاره گیری گرم، راندمان مالت‌سازی و فعالیت آنزیمی (β -گلوکاتناز) را با ضرایب تبیین $1, 0/984$ و $0/995$ پیش‌بینی نماید. این شیوه نوین می‌تواند به طور موفقیت‌آمیزی برای پایش کمی تغییرات مالت در طی فرآیند مالت‌سازی مورد استفاده قرار گیرد.

واژه‌های کلیدی: شبکه عصبی مصنوعی، مالت، پیش‌بینی

مقدمه

مالت سازی از قدیمی‌ترین عملیات زیست فناوری و منظور از آن فرآیند جوانه‌زنی محدود و کنترل شده غلات است که پس از خشک کردن، محصول دارای خواص تغذیه‌ای تولید می‌گردد (Moris and Bryce, 2000). در صنعت مالت سازی از غلات مختلفی استفاده می‌گردد اما به دلیل وجود ترکیب شیمیایی خاص، تغییرات مطلوب طی جوانه‌زنی وجود پوسته که نقش حفاظت از جوانه را طی حمل و نقل بر عهده دارد، جو از امتیاز بالاتری نسبت به سایر غلات برخوردار است (Celuse et al., 2006). هم‌چنین، مالت جو منبعی از آنزیم‌های هضم کننده نشاسته به خصوص آلفا و بتا آمیلازها است (Osman et al., 2002). در دهه اخیر با توجه به گسترش صنایع نوشابه‌سازی و کاربرد انواع مالت به عنوان منبع آنزیمی، شیرینی کننده و غیره در صنایع پخت، قنادی و غذای کودک، نیاز به اصلاح ارقام پر محصول جو مناسب مالت‌سازی که مازاد آن بتواند برای مصارف دیگر (تغذیه انسانی و خوارک دام) کاربرد داشته باشد مدنظر قرار گرفته است.

عملیات عصاره گیری^۵ با آب گرم و سرد به منظور ارزیابی

جو بعد از گندم، برنج و ذرت چهارمین غله مهم است که کشت آن به حدود ده هزار سال پیش باز می‌گردد (Dobraszczyk, 2001). در جهان جو با سطح زیر کشت ۵۶ میلیون هکتار و تولید سالیانه ۱۵۴ میلیون تن از جمله محصولات زراعی مهم به شمار می‌رود. سطح زیر کشت آن در ایران $1/3$ میلیون هکتار با عملکرد $1/54$ تن در هکتار و تولید سالیانه ۲ میلیون تن می‌باشد (USDA, 2010). از جو به طور عمده در خوارک دام و صنعت مالت‌سازی استفاده می‌شود، که مورد اخیر مهم‌ترین کاربرد غذایی آن است (Celuse et al., 2006).

-
- ۱- استادیار پژوهش بخش تحقیقات فنی و مهندسی، مرکز تحقیقات کشاورزی و منابع طبیعی گلستان
 - ۲- دانش آموختگان کارشناسی ارشد دانشگاه آزاد اسلامی واحد سبزوار، گروه نویسنده مسئول: (Email: Qodsevali@yahoo.com)
 - ۳- دانش آموخته کارشناسی ارشد علوم و صنایع غذایی، دانشگاه علوم کشاورزی و علوم و صنایع غذایی، سبزوار، ایران
 - ۴- دانش آموخته کارشناسی ارشد علوم و صنایع غذایی، دانشگاه علوم کشاورزی و منابع طبیعی گرگان

زمینه‌ی استفاده از شبکه عصبی مصنوعی در پیش‌بینی پارامترهای فرآیندهای مختلف نظری آبگیری اسمزی کدوی حلواهی (مختاریان و Kashaninejad *et al.*, ۱۳۹۰)، مدل سازی خیساندن گندم (Latrille *et al.*, 1993) و غیره صورت گرفته ولی هیچ گونه پژوهشی در زمینه‌ی بکارگیری ابزار هوشمند شبکه‌ی عصبی مصنوعی در فرآیند مالت‌سازی صورت نگرفته است. کوروولو ساتنا و همکاران (۲۰۱۰) بهینه‌سازی خشک کردن مالت ذرت را با استفاده از ژنتیک الگوریتم مورد بررسی قرار دادند. گُک و همکاران (۲۰۰۷) از شبکه عصبی و ژنتیک الگوریتم برای پیش‌بینی محتوی چربی آزاد، کربیستالیزاسیون لاکتوز و میانگین اندازه ذرات در طی فرآیند تولید شیر خشک کامل با کمک خشک کن افشاره ای استفاده نمودند. گونی و همکاران (۲۰۰۸) از ابزار هوشمند شبکه عصبی مصنوعی برای پیش‌بینی زمان‌های انجاماد و رفع انجاماد مواد غذایی استفاده نمودند. منلیک و همکاران (۲۰۱۰) زمان خشک کردن شلتوك ذرت را طی خشک کردن با خشک کن همزمان مایکروویو-بستر سیال به وسیله شبکه عصبی پیش‌بینی نمودند. منلیک و همکاران (۲۰۱۰) با کمک شبکه عصبی محتوی رطوبت، نسبت رطوبت و آهنگ خشک کردن برش‌های سیب را طی خشک کردن با انجاماد مورد بررسی قرار دادند. مدللو و همکاران (۲۰۰۹) اندازه میسل کازئین را توسط روش ترکیبی شبکه عصبی مصنوعی-روش شناسی سطح پاسخ^۴ پیش‌بینی نمودند. متله او و همکاران (۲۰۱۱) از شبکه عصبی برای پیش‌بینی میزان انباسته شدن داکسی نیوالنول^۵ در دانه‌های جو آلوده به قارچ فوزاریوم کولمورووم استفاده نمودند. فرناندز و همکاران (۲۰۱۱) غلظت آنتوسینین را در پوست انگور کامل با کمک شبکه عصبی و پردازش تصویر تعیین نمودند. هدف از این مطالعه پیش‌بینی و تعیین بهترین رقم جو برای فرآیند مالت‌سازی و بررسی امکان سنجی پیش‌گویی و پژگی‌های مالت حاصله نظری راندمان عصاره‌گیری گرم، راندمان مالت‌سازی و فعالیت آنژیمی (β -گلوکاناز) با استفاده از مدل‌های شبکه عصبی مصنوعی می‌باشد.

مواد و روش‌ها

آماده سازی مالت

لاین‌های جو مورد استفاده در این تحقیق با نام‌های EBYT-۸۸-۲۰ و EBYT-۸۸-۱۷ از ایستگاه تحقیقات گندکاووس تهییه شده و جهت انجام آزمایشات به آزمایشگاه بخش تحقیقات فنی مهندسی در مرکز تحقیقات کشاورزی و منابع طبیعی استان گلستان

و پژگی‌های کیفی مالت نهایی و هم‌چنین تولید محصولات متنوع انجام می‌شود. فرآیندی که مالت آسیاب شده با آب مخلوط و با کنترل دما، مواد موجود در آن استخراج شود عصاره‌گیری آب گرم و به فراورده حاصل ورت^۱ می‌گویند. هدف از عصاره‌گیری آب گرم گسترش فعالیت آنزیم‌های مالت و تبدیل نشاسته و مواد غیر محلول به ترکیبات قابل حل در آب و دستیابی به حداکثر مقدار کربوهیدرات‌های ساده است (Briggs, 1998). پژوهش‌های متعددی در زمینه فرآیند مالت‌سازی صورت گرفته است. گروهی از پژوهشگران، بهینه‌سازی خشک کردن مالت ذرت را در دمای ۵۴ و ۶۴ درجه سانتی‌گراد بررسی و مشاهده نمودند که دمای ۵۴ درجه سانتی‌گراد برای خشک کردن مالت آنژیمی ذرت دمای مناسبی است (Biazus *et al.*, 2005). گروهی از محققین ایرانی اثر دما و نوع خشک کن را بر خواص فیزیکوشیمیایی مالت حاصل از ارقام جو مورد بررسی و ارزیابی قرار دادند. نتایج حاکی از آن بود که بهترین دما برای تولید مالت آنژیمی و غیر آنژیمی به ترتیب در ۵۵ و ۸۵ درجه سانتی‌گراد بود. نتایج خشک کردن ترکیبی در دمای ۵۵ درجه سانتی‌گراد خشک کن هوای داغ نشان داد با افزایش توان از ۱۰۰ وات به ۳۰۰ وات در مایکروویو، و پژگی‌های کیفی روندی مشابه خشک کن هوای داغ داشتند (آقاجانی و همکاران, ۱۳۸۸). هم‌چنین گروه دیگری از محققین ایرانی بررسی اثر فرآیند مالت‌سازی بر و پژگی‌های فیزیکوشیمیایی دو رقم جو صhra و دشت را بررسی نمودند (آقاجانی و همکاران, ۱۳۸۸). در پژوهش دیگر، اختلاط مالت منابع غلاتی جهت استفاده در صنایع پخت و تولید نوشابه‌های مالتی غیر الكلی مورد بررسی و ارزیابی قرار گرفت. نتایج نشان داد که افزودن مالت تریتیکاله (۱۰ درصد)، افزودن مالت گندم و مالت تریتیکاله (هر یک ۱۰ درصد) به ترتیب منجر به تولید مادة اولیه مناسب صنایع نوشابه‌های مالتی و صنایع پخت می‌شود (قدس ولی, ۱۳۸۹).

امروزه شبکه عصبی مصنوعی^۲ به عنوان یک ابزار قدرتمند نقش مهمی در پیش‌بینی پارامترهای فرآیند ایفا می‌نماید. اولین مدل ریاضی نرون مصنوعی در ابتدا توسط مک‌کولاک و پیتس^۳ پیشنهاد گردید (Sablani *et al.*, 2007) یک نرون مصنوعی از واحد پردازشی مقدماتی با چندین ورودی و یک خروجی تشکیل شده است. ورودی‌های نرون می‌توانند خروجی‌های سایر نرون‌های یا خروجی‌های ساده‌ی بیرونی باشد. خروجی از یک سلول عصبی می‌تواند ورودی به چندین سلول عصبی دیگر باشد. هم‌چنین، سیگنال‌های ورودی به نرون‌ها توسط وزن‌های ویژه اصلاح می‌گردد (Wu and McLarty, 2000).

1- Wort

2- Artificial neural network (ANN)

3- McCulloch and Pitts

منتقل شدند.

تعیین میزان فعالیت آنزیم بتاگلوكاتناز اندازه‌گیری آنزیم با استفاده از کیت‌های تجاری مگازایم^۱ ساخت ایرلند و با استفاده از روش مک‌کلری و شامر و (۱۹۸۷) و با استفاده از معادله ۲ تعیین شد که مبین فعالیت آنزیمی به صورت واحد بر کیلوگرم مالت (U/kg) می‌باشد (McCleary and Shameer, 1987).

$$Y = (630 \times A) + 4 \quad (2)$$

در این معادله؛ A میزان جذب محلول آزمایش در ۵۹۰ نانومتر توسط دستگاه اسپکتوفوتومتر LKB.Novaspect II (phamacia انگلستان) می‌باشد.

تعیین راندمان عصاره‌گیری با آب گرم^۲

پس از تهییه عصاره به روش زمان‌بندی درجه حرارت، وزن مخصوص عصاره حاصله به کمک پیکنومتر تعیین گردید سپس با مراجعه به جدول پلاتو^۳، بریکس عصاره اندازه‌گیری شد و در نهایت از معادله ۳، درصد راندمان عصاره آب گرم تعیین شد (AOAC, 2006).

$$E = \frac{(300 + M/P)}{100 - P} \quad (3)$$

که، E و P به ترتیب درصد بازدهی استخراج عصاره آب گرم بر اساس ماده خشک، درصد رطوبت (مبنای تر) در مالت و مواد جامد محلول کل در ۱۰۰ گرم عصاره با استفاده از جدول پلاتو می‌باشد.

مدل‌سازی شبکه‌ی عصبی مصنوعی

برای مدل‌سازی با شبکه عصبی مصنوعی از نرم افزار SPSS نسخه‌ی ۱۹ (۲۰۱۱) استفاده گردید. نوع شبکه طراحی شده پرسپترون چند لایه^۴ بر اساس شبکه‌ی پس انتشار^۵ با مومتم و با نرون بایاس بود که در آن لایه ورودی شامل دو نرون (زمان جوانه زنی (x_1) و زمان خیساندن (x_2)) و لایه خروجی شامل سه نرون (راندمان مالت سازی (y_1)، راندمان عصاره گیری (y_2) و فعالیت آنزیمی (β -گلوكاتناز) (y_3)) بود. بنابراین مدل شبکه عصبی بر اساس ۲ ورودی و ۳ خروجی طراحی گردید. همان طور که مشاهده می‌گردد شکل ۱ شماتیک ساختار شبکه عصبی پرسپترون را نشان می‌دهد. بهینه‌سازی ساختار شبکه عصبی با بررسی چیدمان‌های مختلف شبکه و نیز ارزیابی همبستگی بین خروجی‌های شبکه عصبی و داده‌های

پس از تمیز نمودن و بوخاری دانه‌ها توسط الک (ساخت ایران، شرکت دملوند، مدل E:11) و به صورت دستی، آنها به دسته‌هایی به طور مساوی تقسیم شدند و به طور جداگانه برای زمان‌های ۳۶، ۴۸ و ۴۲ ساعت تا رسیدن به میزان رطوبت نهایی ۴۶ درصد تحت فرآیند خیساندن قرار گرفتند (دماه آب حدود ۲۰ درجه سانتی‌گراد و سختی آب حدود ۲۵۰ پی.پی.ام). در مرحله بعدی دانه‌های خیسانده شده حاصل از سه زمان فوق به سه قسمت مساوی توزین و به داخل ژرمیناتور (مدل Tabai Espec Corp، ساخت ژاپن) جهت طی شدن مدت زمان لازم ۳، ۵ و ۷ روز برای جوانه‌زنی منتقل و دمای ژرمیناتور در حدود ۱۷–۲۰ درجه سانتی‌گراد و رطوبت نسبی حدود ۹۰ تا ۹۵ درصد تنظیم گردید (Agu and Palmer, 2003).

نمونه‌ها در دمای ۴۸–۵۵ درجه سانتی‌گراد برای مدت ۲۴–۴۸ ساعت خشک و سپس ریشه‌چهای آنها به روش سایشی و با الک کردن جدا گردید و برای عصاره‌گیری با آب گرم، مالت نرم آسیابی تحت عمل عصاره‌گیری به روش زمان‌بندی درجه حرارت^۱ قرار داده شد (AOAC, 2006). ابتدا ۵۰ گرم مالت آسیابی نرم توزین و به پسر حاوی ۲۰۰ میلی‌لیتر آب مقطر ۴۶ درجه سانتی‌گراد اضافه شد و پس از مخلوط کردن، به مدت ۳۰ دقیقه در بن ماری (ساخت ایران، شرکت اندیشه تجهیز، مدل W350) در دمای ۴۵ درجه سانتی‌گراد قرار داده شد. سپس دمای خیسانده شده مالت هر دقیقه، یک درجه سانتی‌گراد بالا برده شد تا به ۷۰ درجه سانتی‌گراد رسید. در این هنگام پس از افزودن ۱۰۰ میلی‌لیتر آب مقطر ۷۰ درجه سانتی‌گراد، مخلوط به مدت ۶۰ دقیقه در دمای ۷۰ درجه سانتی‌گراد نگهداری گردید. در نهایت مخلوط حاصل پس از سرد شدن با کاغذ صافی و اتنمن شماره ۱ و به کمک پمپ خلا (مدل: SERIAL NO 900:0، ساخت امریکا) صاف و عصاره شیرین از باقی‌مانده مالت جدا گردید.

راندمان مالت‌سازی

راندمان مالت‌سازی نمونه‌های جو در طی فرآیند مالت‌سازی توسط معادله (۱) با کمک ترازوی دیجیتال (AVERY GEC، مدل T5/NO286 ساخت انگلستان با دقت ۰/۰۱) انجام گرفت.

$$MY = \frac{A}{B} \times 100 \quad (1)$$

در این معادله MY، راندمان مالت‌سازی (درصد)، A، وزن دانه‌های مالت حاصله (گرم) و B، وزن دانه‌های جو اولیه (گرم) می‌باشند.

2- Megazyme Itd. Ireland

3- Hot Water Extract

4- Platto Table

5- Multi Layer Perceptron (MLP)

6- Back Propagation Network (BPN)

1- Temprature programing

رقم مناسب برای فرآیند تولید مالت می‌باشد (جدول ۱). هم‌چنان بین دو لاین جو در کلیه حالت‌ها اختلاف آماری معنی‌دار در سطح احتمال ۸۸-۲۰ ۹۹ درصد مشاهده می‌گردد. نتایج نشان داد که در لاین EBYT-کلیه پارامترهای راندمان مالت‌سازی، راندمان عصاره‌گیری گرم و فعالیت آنزیم β -گلوکاتاز دارای امتیاز آماری بالاتری نسبت به لاین EBYT-۸۸-۲۰ می‌باشد.

با توجه به این گزارشات، کلیه پیش‌بینی‌های انجام گرفته توسط شبکه عصبی مصنوعی در مورد فرآیند مالت‌سازی روی مالت‌های به دست آمده از لاین EBYT-۸۸-۲۰ انجام گرفت. همان‌طور که گفته شد در این پژوهش از توابع فعال‌سازی مختلف برای پیش‌بینی ویژگی‌های فرآیند مالت‌سازی استفاده گردید. در ابتدا قل از انجام فرآیند مدل‌سازی برای هر تابع فعال‌سازی بهترین حالت تقسیم‌بندی داده^۶ (تفکیک داده) به روش سعی و خطا تعیین گردید. جدول ۲ انواع تقسیم‌بندی‌های بکار رفته برای مدل‌سازی پارامترهای مالت‌سازی را نشان می‌دهد.

نتایج بررسی بهترین حالت تقسیم‌بندی مجموعه داده‌ها برای هر تابع فعال‌سازی بکار رفته در شکل ۲ نشان داده شده است. مبنای ارزیابی، بر اساس کمترین مقدار خطای میانگین کل در آزمون شبکه بود. برای بدست آوردن بهترین حالت از روش سعی و خطا استفاده گردید. نتایج نشان داد که به ترتیب برای توابع فعال‌سازی لوگ سیگموئید-لوگ سیگموئید، تائزانت هیپربولیک-تائزانت هیپربولیک، لوگ سیگموئید-تائزانت هیپربولیک، لوگ سیگموئید-همانی و تائزانت هیپربولیک-همانی بهترین تقسیم بندی، P₄, P₅, P₆, P₇, P₈ بود. بنابراین در فرآیند بعدی مدل‌سازی داده‌ها از بهترین ترکیب تقسیم‌بندی برای هر تابع فعال‌سازی استفاده گردید.

نتایج حاصل از مدل‌سازی شبکه عصبی پرسپترون همراه با توابع فعال‌سازی لگاریتم سیگموئید-لگاریتم سیگموئید، تائزانت هیپربولیک-تائزانت هیپربولیک، لگاریتم سیگموئید-تائزانت هیپربولیک، لگاریتم سیگموئید-همانی و تائزانت هیپربولیک-همانی به همراه چیدمان‌های بدست آمده در حالت‌های مختلف در جدول ۳ نشان داده شده است. بررسی نتایج بدست آمده در خصوص شبکه عصبی پرسپترون همراه با توابع فعال‌سازی لگاریتم سیگموئید-لگاریتم سیگموئید با یک لایه پنهان نشان داد که (جدول ۳) چیدمان ۲-۱۲-۳، یعنی شبکه‌ای با ۲ ورودی، ۱۲ گره (نرون) در لایه پنهان و ۳ خروجی، بهترین نتیجه را در پیش‌بینی راندمان عصاره‌گیری گرم، راندمان مالت‌سازی و فعالیت آنزیمی (β -گلوکاتاز) دارد. این شبکه قادر بود راندمان عصاره‌گیری گرم، راندمان مالت‌سازی و فعالیت آنزیمی (β -گلوکاتاز) را به ترتیب با مقادیر ضرایب تبیین ۰/۹۹۹، ۰/۹۸۴ و ۰/۹۹۳ پیش‌بینی نماید. بررسی آنالیز شبکه عصبی سایر

آزمایشی انجام گرفت. برای بهینه‌سازی شبکه عصبی پارامترهای مختلف شبکه نظریه تعداد نرون در هر لایه پنهان، نوع تابع فعال‌سازی در لایه پنهان و خروجی، نرخ یادگیری و ضریب مومنتوم باید ارزیابی گردد. به منظور یافتن بهترین پیکربندی، تعداد یک لایه پنهان با ۲۳۲ عدد نرون در هر لایه پنهان، نرخ یادگیری $0/4$ ، ضریب مومنتوم ۰/۹ و توابع فعال‌سازی لگاریتم سیگموئید^۱ (رابطه‌ی ۴) و تائزانت هیپربولیک^۲ (رابطه‌ی ۵) و همانی^۳ (رابطه‌ی ۶) در لایه پنهان و خروجی استفاده گردید.

$$f(z) = \frac{1}{1 + \exp(-z)} \quad (4)$$

$$f(z) = \tanh(z) = \frac{e^z - e^{-z}}{e^z + e^{-z}} \quad (5)$$

$$Id(z) = z \quad (6)$$

به منظور مقایسه کارایی شبکه عصبی، از شاخص‌های ضریب تبیین^۴ و خطای نسبی میانگین^۵ استفاده گردید (روابط ۷ و ۸).

$$MRE = \left(\frac{1}{N} \sum_{i=1}^N \frac{|P_{ANN_i} - P_{Exp_i}|}{P_{Exp_i}} \right) \times 100 \quad (7)$$

$$R^2 = 1 - \left[\frac{\sum_{i=1}^N (P_{ANN_i} - P_{Exp_i})^2}{\sum_{i=1}^N (P_{ANN_i} - MRE_{ANN_i})^2} \right] \quad (8)$$

در این معادلات، P_{ANN} مقدار پیش‌بینی شده برای پارامترهای خروجی از شبکه، P_E مقادیر داده‌ای تجربی بدست آمده از آزمایش و N تعداد مشاهدات می‌باشد (مختاریان و همکاران، ۱۳۹۰).

نتایج و بحث

در این پژوهش ترکیبی از لایه‌ها و نرون‌های مختلف همراه با تابع فعال‌سازی مختلف (در لایه‌های پنهان و خروجی) برای بهینه‌سازی شبکه پرسپترون مورد استفاده قرار گرفت. شبکه‌های عصبی با یک لایه پنهان، تعداد ۲ تا ۳۲ نرون به طور تصادفی انتخاب و قدرت شبکه در پیش‌بینی پارامترهای مالت‌سازی نظری فعالیت آنزیم بتاگلوکاتاز، راندمان مالت‌سازی و راندمان عصاره‌گیری گرم مورد ارزیابی قرار گرفت. جهت فرآیند مالت‌سازی از دو لاین جو با نام‌های EBYT-۸۸-۲۰ و EBYT-۸۸-۲۱ آزمایشات (راندمان مالت‌سازی، راندمان عصاره‌گیری گرم و فعالیت آنزیم β -گلوکاتاز) حاکی از آن بود که رقم EBYT-۸۸-۲۰ به عنوان

1- Logarithm sigmoid activation function (logsig)

2- Hyperbolic tangent activation function (tanh)

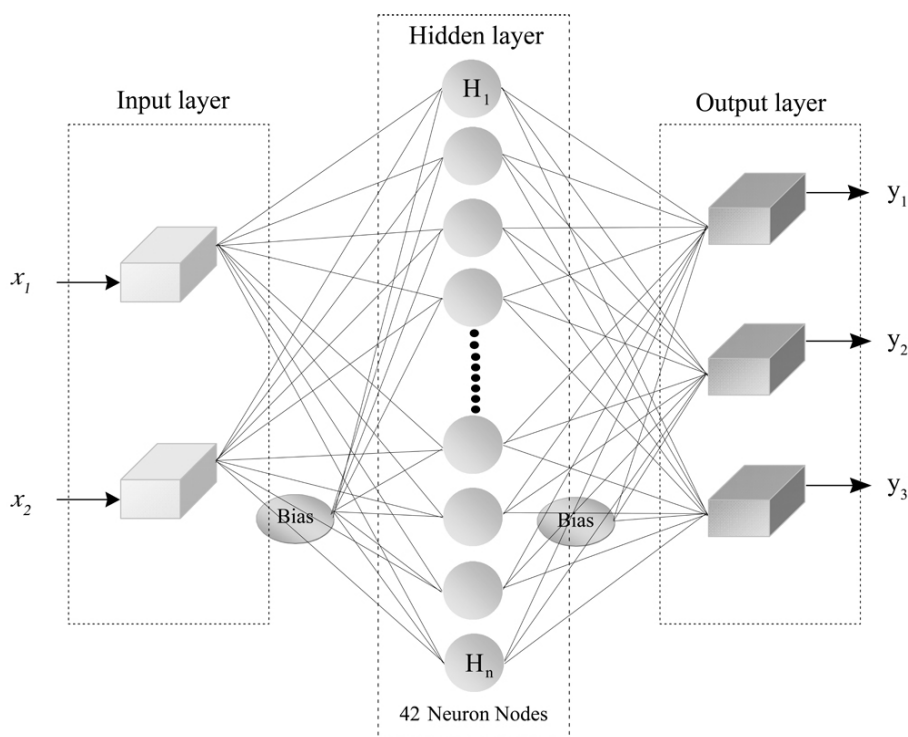
3- Identity activation function

4- Coefficient of determination (R^2)

5- Mean Relative Error (MRE)

کاشانی‌نژاد و همکاران (۲۰۰۹) از دو نوع شبکه عصبی مصنوعی (شبکه پرسپترون و تابع پایه شعاعی) برای پیش‌بینی محتوى رطوبت دانه گندم در طی خیساندن استفاده نمودند.

توابع فعال‌سازی بکار رفته در پیش‌بینی پارامترهای مالت‌سازی دانه جو نشان داد که این توابع با تعداد ۱۷ نرون در لایه پنهان، به عنوان بهترین تعداد نرون انتخاب گردید. مقادیر ضربی تبیین و خطای نسبی آزمون داده‌ها برای این توابع در جدول ۳ نشان داده شده است.



شکل ۱- شماتیک ساختار شبکه عصبی پرسپترون

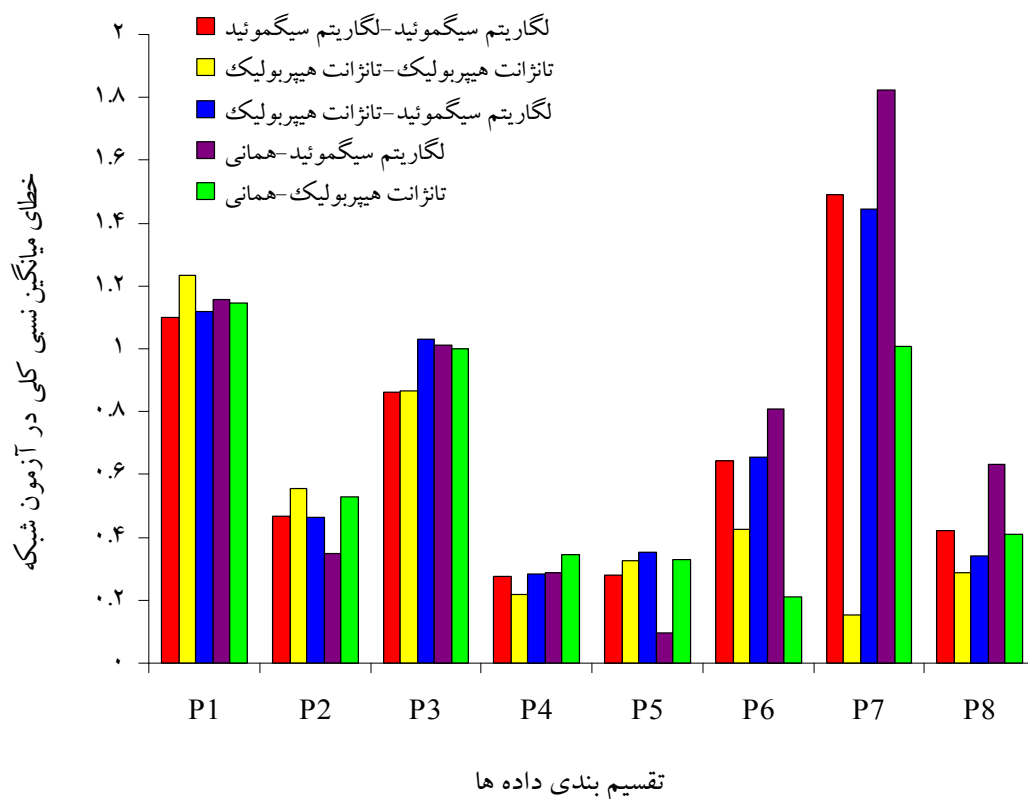
جدول ۱- مقایسه میانگین پارامترهای مؤثر در فرآیند مالت‌سازی

لاین جو	راندمان عصاره‌گیری گرم (%)	راندمان مالت‌سازی (%)	فعالیت آنزیم β -گلوکاناز (U/Kg)
۱۵۹/۱۲ ^a	۸۷/۷۵ ^a	۵۲/۴۷ ^a	EBYT-۸۸-۲۰
۱۲۵/۹۶ ^b	۸۵/۲۴ ^b	۴۹/۴۱ ^b	EBYT-۸۸-۱۷

* - در هر ستون میانگین‌های دارای حروف مشابه از لحاظ آماری اختلاف معنی‌داری ندارند ($\alpha=0.01$)

جدول ۲- حالت‌های مختلف تقسیم‌بندی داده‌ها برای پیش‌بینی پارامترهای مالت‌سازی

حالات تقسیم‌بندی	درصد داده‌های یادگیری (%)	درصد داده‌های آزمون (%)	نشانه
P ₁	۷۵	۲۵	۱
P ₂	۶۰	۴۰	۲
P ₃	۵۰	۵۰	۳
P ₄	۳۳/۳۳	۶۶/۶۷	۴
P ₅	۲۵	۷۵	۵
P ₆	۲۰	۸۰	۶
P ₇	۱۵	۸۵	۷
P ₈	۱۲	۸۸	۸



شکل ۲- حالت‌های مختلف تقسیم‌بندی مجموعه داده‌های به کار رفته در مدل سازی شبکه‌ی عصبی

مالتسازی و فعالیت آنزیمی (β -گلوکاتنаз) داشت. مقادیر خطای نسبی آزمون داده‌ها برای این سه فاکتور به ترتیب $0/000065$ ، $0/012$ و $0/005$ محاسبه گردید. چایجان و همکاران (۱۳۸۸) ضریب تبدیل شلتوك را با استفاده از شبکه‌های عصبی مصنوعی در خشک کردن بستر سیال، پیش‌بینی نمودند. در این پژوهش از توابع فعال سازی سیگموئیدی، تانژانت هیپربولیک و خطی استفاده گردید. نتایج نشان داد که شبکه عصبی پس انتشار پیشرو^۳ با چیدمان ۷-۱-۱۳-۷-۱ با تابع فعال سازی تانژانت سیگموئید توانست راندمان تبدیل شلتوك را به برنج سفید با ضریب تعیین $95/48$ درصد و خطای میانگین مطلق $0/19$ پیش‌بینی نماید.

نمودار آنالیز حساسیت مقادیر پیش‌بینی شده توسط شبکه عصبی پرسپترون در برابر مقادیر تجربی برای بهترین چیدمان مدل‌های شبکه عصبی پرسپترون نشان داد که داده‌ها به طور تصادفی در اطراف خط رگرسیونی با ضریب تعیین بالاتر از $0/984$ قرار گرفته‌اند که این خود دلیلی بر ارزیابی دقیق شبکه عصبی در پیش‌بینی ویژگی‌های مالت‌سازی می‌باشد (شکل ۳).

3- Cascade Forward Back Propagation (CFBP)

نتایج نشان داد که مدل شبکه عصبی پرسپترون از توانایی بالاتری نسبت به شبکه عصبی تابع پایه شعاعی^۱ برخوردار می‌باشد (Kashaninejad et al. 2009). خزائی و همکاران (۱۳۸۶) از سه نوع شبکه عصبی مصنوعی برای پیش‌بینی خواص کیفی انگور استفاده نمودند. نتایج نشان داد که شبکه عصبی المان^۲ با تابع فعال سازی لگاریتم سیگموئید نتایج بهتری نسبت به تابع فعال سازی تانژانت هیپربولیک-لگاریتم سیگموئید داشت.

مقایسه نتایج مدل‌های مختلف شبکه عصبی برای تعیین بهترین مدل شبکه عصبی در پیش‌بینی ویژگی‌های مالت در جدول ۴ نشان داده شده است. همان طور که مشاهده می‌گردد، کلیه مدل‌های شبکه عصبی توانایی بالایی در پیش‌بینی ویژگی‌های مالت‌سازی داشته و ضریب تبیین مدل‌های شبکه عصبی بالاتر از $0/942$ بدست آمد. با این وجود مقایسه نتایج نشان داد که شبکه عصبی پرسپترون با تابع فعال سازی تانژانت هیپربولیک-همانی بهترین نتیجه را با 17 نرون در لایه پنهان، در پیش‌بینی راندمان عصاره‌گیری گرم، راندمان

1- Radial Basis Function (RBF)

2- Elman Network

جدول ۳- نتایج شبکه عصبی پرسپترون همراه با توابع فعال سازی مختلف در پیش‌بینی و بونگاهی مالت

فعالیت آنژیمی (بنا- گلوکاناز)		داندهان مالت‌سازی		داندهان عصاره‌گیری گرم		تابع فعال سازی	
میانگین خطای نسبی	ضریب تبیین	میانگین خطای نسبی	ضریب تبیین	میانگین خطای نسبی	ضریب تبیین	تعداد نمون	میانگین خطای نسبی
یادگیری	آزمون	یادگیری	آزمون	یادگیری	آزمون	آزمون	یادگیری
0/812	1/205	0/102	0/971	0/016	0/052	0/541	0/412
0/779	0/433	0/151	0/933	0/726	0/015	0/869	0/563
0/292	3/259	0/887	0/660	0/735	0/320	0/241	1/095
0/993	0/014	0/005	0/984	0/015	0/018	0/999	0/0024
0/947	0/089	0/068	0/984	0/028	0/014	0/999	0/0032
0/926	0/097	0/102	0/966	0/037	0/033	0/849	0/177
0/724	0/084	0/410	0/948	0/088	0/068	0/361	1/831
0/195	0/868	0/838	0/927	0/069	0/087	0/578	0/453
0/946	0/035	0/078	0/978	0/334	0/012	1	0/004
0/938	6/364	0/081	0/945	0/045	0/064	0/988	0/003
0/977	0/206	0/021	0/975	0/017	0/028	0/98	0/035
0/995	0/003	0/007	0/983	0/0005	0/020	1	0/002
0/943	0/016	0/160	0/971	0/101	0/031	0/995	0/017
0/781	20/99	0/328	0/966	0/138	0/038	0/986	0/059
0/318	1/786	0/605	0/895	0/029	0/194	0/680	0/288
0/474	0/702	0/513	0/913	0/372	0/099	0/260	1/187
0/294	4/773	0/874	0/491	1/018	0/443	0/21	1/001
0/821	0/287	0/178	0/973	0/031	0/040	0/974	0/032
0/942	0/056	0/071	0/973	0/027	0/028	0/996	0/009
0/775	0/185	0/397	0/967	0/069	0/066	0/857	0/171
0/745	0/091	0/461	0/931	0/181	0/077	0/293	2/046

ادامه جدول ۳- نتایج شبکه عصبی پرسپترون همراه با توانع فعال سازی مختلف در پیش‌بینی ویژگی‌های مالت		راندمان مالت‌ساری		راندمان عصباره گیری گرم		تابع فعال سازی	
فعالیت آنریپمی (بنابراین کلوزانا)		میانگین خطای نسبی	میانگین خطای نسبی	میانگین خطای نسبی	ضریب تبیین	تعداد نمون	تعداد نمون
میانگین خطای نسبی	ضریب تبیین	میانگین خطای نسبی	ضریب تبیین	میانگین خطای نسبی	ضریب تبیین	میانگین خطای نسبی	ضریب تبیین
بادگیری	آزمون	بادگیری	آزمون	بادگیری	آزمون	بادگیری	آزمون
0/698	0/200	0/317	0/811	0/155	0/207	0/4	0/577
0/281	1/232	0/850	0/651	0/245	0/482	0/209	1/335
0/330	4/846	0/627	0/846	0/084	0/222	0/231	1/037
0/995	0/012	0/003	0/983	0/040	0/017	1	0/0003
0/995	0/0051	0/0052	0/983	0/018	0/012	1	0/00003
0/875	0/093	0/194	0/902	0/175	0/192	0/666	0/478
0/152	3/006	1/144	0/25	1/173	1/405	0/130	5/925
						1/128	1/128
0/397	0/806	0/681	0/741	0/416	0/246	0/360	2/221
0/315	0/644	0/772	0/639	0/187	0/412	0/212	1/853
0/994	0/1996	0/0035	0/982	0/037	0/020	0/999	0/001
0/995	0/008	0/004	0/983	0/022	0/016	1	0/00014
0/995	0/005	0/005	0/984	0/012	0/013	1	0/000065
0/995	0/007	0/005	0/983	0/042	0/0107	1	0/00021
0/994	3/156	0/005	0/981	0/054	0/019	0/998	0/096

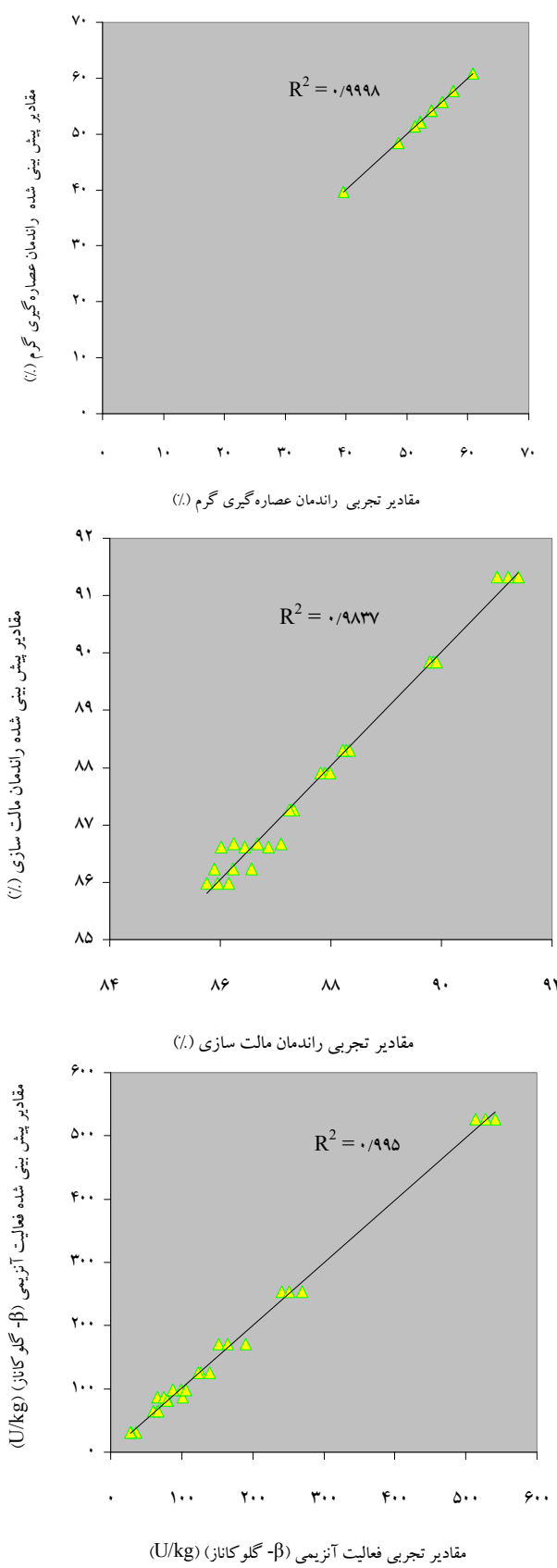
ستون بین اولین لایه پنهان و لایه خروجی) و مقادیر بایاس (B_{input}) ماتریس بایاس ورودی برای اولین لایه پنهان دارای ۱۷ سطر و ۱ ستون (17×1)، B_{output} ماتریس بایاس خروجی دارای ۳ سطر و ۱ ستون (1×3) به صورت زیر به دست آمد:

در شبکه بهینه شده (یعنی شبکه عصبی با تابع فعال سازی تائزانت هیپربولیک-همانی با ۱۷ نمون در لایه پنهان) ماتریس وزن‌ها ($Q_{17 \times 6}$ ، یعنی ماتریس با ۱۷ سطر و ۶ ستون بین مقادیر ورودی به شبکه و اولین لایه پنهان و $G_{3 \times 17}$ ، یعنی ماتریس با ۳ سطر و ۱۷

جدول ۴- مقایسه مدل‌های شبکه عصبی در پیش‌بینی ویژگی‌های مالت

تابع فعال سازی	پارامترهای آماری	راندمان عصاره‌گیری گوم	راندمان مالت‌سازی	فعالیت آنزیمی (β -گلوکاناز)	خطای نسبی آزمون	
لگاریتم سیگموئید-لگاریتم سیگموئید	۰/۰۱۴	۰/۰۱۵	۰/۰۰۲۴		شبکه	
	۰/۹۹۳	۰/۹۸۴	۰/۹۹۹		ضریب تبیین	
	۲-۱۲-۳	۲-۱۲-۳	۲-۱۲-۳		چیدمان	
تائزانت هیپربولیک-تائزانت هیپربولیک	۰/۰۰۳	۰/۰۰۰۵	۰/۰۰۰۲		خطای نسبی آزمون	
	۰/۹۹۵	۰/۹۸۳	۱		شبکه	
	۲-۱۷-۳	۲-۱۷-۳	۲-۱۷-۳		ضریب تبیین	
تائزانت هیپربولیک-لگاریتم سیگموئید	۰/۰۵۶	۰/۰۲۷	۰/۰۰۹		خطای نسبی آزمون	
	۰/۹۴۲	۰/۹۷۳	۰/۹۹۶		شبکه	
	۲-۱۷-۳	۲-۱۷-۳	۲-۱۷-۳		ضریب تبیین	
لگاریتم سیگموئید-همانی	۰/۰۰۵۱	۰/۰۱۸	۰/۰۰۰۰۳		خطای نسبی آزمون	
	۰/۹۹۵	۰/۹۸۳	۱		شبکه	
	۲-۱۷-۳	۲-۱۷-۳	۲-۱۷-۳		ضریب تبیین	
تائزانت هیپربولیک-همانی	۰/۰۰۵	۰/۰۱۲	۰/۰۰۰۰۶۵		خطای نسبی آزمون	
	۰/۹۹۵	۰/۹۸۴	۱		شبکه	
	۲-۱۷-۳	۲-۱۷-۳	۲-۱۷-۳		ضریب تبیین	
					چیدمان	

$$Q_{17 \times 6} = \begin{bmatrix} -0.276 & -0.307 & 0.261 & -0.165 & 0.49 & 0.417 \\ 0.144 & -0.345 & 0.204 & 0.49 & 0.162 & -0.522 \\ 0.272 & -0.006 & -0.43 & 0.394 & -0.458 & -0.361 \\ 0.379 & -0.311 & -0.587 & 0.043 & -0.713 & -0.666 \\ 0.692 & -0.148 & 0.25 & -0.301 & 0.082 & -0.622 \\ 0.085 & 0.147 & -0.004 & -0.589 & -0.213 & -0.483 \\ -0.057 & -0.088 & 0.453 & -0.453 & -0.354 & 0.523 \\ 0.027 & -0.258 & -0.239 & 0.357 & 0.177 & -0.281 \\ 0.716 & -1.613 & 0.993 & -1.113 & 1.732 & 0.34 \\ -1.373 & 0.583 & 1.27 & -0.55 & 0.779 & 0.526 \\ -0.226 & -0.836 & 1.839 & -0.689 & -0.561 & 1.746 \\ 0.299 & -0.401 & 0.008 & 0.092 & 0.299 & -0.223 \\ 1.376 & -0.337 & -0.489 & -0.864 & 0.537 & 0.439 \\ -0.345 & 0.174 & -0.193 & -0.365 & 0.882 & -0.281 \\ -0.196 & -0.195 & 0.895 & 0.556 & -0.478 & 0.176 \\ -0.129 & 0.392 & -0.619 & 0.099 & -0.616 & 0.231 \\ -0.171 & 0.297 & -0.136 & 0.326 & -0.274 & -0.399 \end{bmatrix}$$



شکل ۳- مقدادیر پیش‌بینی شده و تجربی پیش‌بینی پارامترهای مالت توسط بهترین شبکه آموزش داده شده

$$G_{3 \times 17} = \begin{bmatrix} 0.37 & -0.57 & -1.47 & -0.7 & -0.15 & 0.02 & 0.21 & -0.25 & -1.22 & -1.36 & 0.67 & 0.21 & -1.35 & 0.9 & -0.35 & 0.34 & -0.24 \\ -0.54 & 0.15 & 0.26 & 0.45 & 0.29 & -0.96 & -0.28 & 0.14 & -0.27 & 0.05 & -0.77 & 0.38 & 0.78 & -0.17 & 0.64 & 0.18 & 0.29 \\ -0.22 & -0.45 & 0.23 & -0.22 & -0.57 & -0.21 & -0.22 & -0.27 & 1.55 & 1.03 & -1.59 & -0.49 & 0.34 & -0.73 & -0.46 & -0.36 & 0.32 \end{bmatrix}$$

$$B_{\text{input}} = \begin{bmatrix} 0.415 \\ -0.359 \\ -0.372 \\ -0.202 \\ 0.101 \\ 0.04 \\ 0.008 \\ -0.088 \\ 1.626 \\ -0.099 \\ 0.927 \\ 0.359 \\ 0.729 \\ 0.398 \\ 0.424 \\ -0.776 \\ -0.283 \end{bmatrix}$$

$$B_{\text{output}} = \begin{bmatrix} -0.026 \\ 0.681 \\ -0.333 \end{bmatrix}$$

خطای نسبی آزمون شبکه نسبت به سایر توابع از توان عملیاتی بالاتری در پیش‌بینی راندمان عصاره‌گیری گرم، راندمان مالت‌سازی و فعالیت آنزیمی (β -گلوکاناز) برخوردار می‌باشد. نتایج حاکی از آن بود که این شبکه با ۱۷ نمون در لایه پنهان، توانست پارامترهای راندمان عصاره‌گیری گرم، راندمان مالت‌سازی و فعالیت آنزیمی (β -گلوکاناز) را با مقادیر ضریب تبیین ۰/۹۸۴، ۱، ۰/۹۹۵ و ۰/۹۸۴ پیش‌بینی نماید. بنابراین پژوهش حاضر نشان داد که شبکه عصبی به عنوان یک سیستم غیر خطی می‌تواند نقش مهمی در پیش‌بینی پارامترهای کیفی فرآیندهای مواد غذایی (مثالاً فرآیند مالت‌سازی) داشته که به عنوان یک روش غیر تخریبی و سریع می‌تواند کمک شایانی در محاسبه پارامترهای فرآوری ایفا نماید.

نتیجه‌گیری

در این پژوهش از مدل‌های مختلف شبکه عصبی برای تعیین بهترین شبکه در پیش‌گویی ویژگی‌های مالت مورد استفاده قرار گرفت. برای این منظور، ابتدا در هر تابع فعال سازی بهترین تفکیک داده‌ها تعیین گردید. نتایج نشان داد که مناسب‌ترین آرایش داده‌ها برای توابع فعال سازی لگاریتم سیگموئید-لگاریتم سیگموئید، تانژانت هیپربولیک-تانژانت هیپربولیک، لگاریتم سیگموئید-همانی و تانژانت هیپربولیک-همانی به ترتیب P_4 , P_7 , P_5 و P_6 بود. بنابراین در فرآیند بعدی مدل سازی داده‌ها از بهترین ترکیب تقسیم‌بندی برای هر تابع فعال سازی استفاده گردید. نتایج مدل سازی شبکه عصبی نشان داد که تابع فعال سازی تانژانت هیپربولیک-همانی به دلیل داشتن کمترین

منابع

- آقاجانی، ن.، کدیور، م.، کاشانی نژاد، م.، و حسینی، ح.، ۱۳۸۸، بررسی اثر فرآیند مالت‌سازی بر ویژگی‌های فیزیکوشیمیایی دو رقم جو (صحراء و دشت)، مجله علوم و فنون کشاورزی و منابع طبیعی، شماره ۴۸، ۲۱۹-۲۲۹.
- آقاجانی، ن.، کاشانی نژاد، م.، کدیور، م.، حسینی، ح.، ۱۳۸۸، اثر دما و نوع خشک‌کن بر خواص فیزیکوشیمیایی مالت حاصل از ارقام جو، مجله علوم کشاورزی و منابع طبیعی، شماره ۴۸، ۲۸۵-۲۹۸.
- چایجان، ر. آ.، خوش‌تقاضا، م. ۵، منتظر، غ. ع.، مینایی، س.، علیزاده، م. ز. ر.، ۱۳۸۸، تخمین ضریب تبدیل شلتوك با استفاده از شبکه های عصبی مصنوعی در خشک کردن بستر سیال، علوم و فنون کشاورزی و منابع طبیعی، شماره ۴۸، ۲۸۵-۲۹۸.
- خزائی، ن. ب.، چایجان، ر. آ.، توکلی‌هشتچین، ت.، خوش‌تقاضا، م. ۵، ۱۳۸۶، بررسی شاخص‌های مهم خشک کردن انگور در روش خشک

- کردن با جریان هوای گرم به کمک شبکه‌های عصبی مصنوعی، مجله پژوهش کشاورزی: آب و خاک و گیاه در کشاورزی، شماره ۳، ۱۴۱-۱۵۴. قدس ولی، ع. ر، ۱۳۸۹، بررسی اختلاط مالت منابع غلاتی جهت استفاده در صنایع پخت و تولید نوشابه‌های مالتی غیر الکلی، مجله تحقیقات مهندسی کشاورزی، شماره ۳، ۵۵-۷۰.
- مختاریان، م، توکلی‌پور، ح، و کوشکی، ف، ۱۳۹۰، پیش‌بینی خواص فیزیکی پسته با استفاده از شبکه‌های عصبی مصنوعی در طی فرآوری، مجله علوم و فناوری غذایی، شماره ۳ (پیاپی ۹)، ۲۵-۳۸.
- Agu, R. C. and Palmer, G. H., 2003, Pattern of nitrogen distribution in barley grains grown in the field. *Journal of the Institute of Brewing*, 109, 110-113.
- Association of Analytical Chemists. 2006, Official Method of Analysis of the Association of Analytical Chemists, 18th edition. AOAC Washington, DC.
- Biazus, J. P. M., Souza, A. G., Santana, J. C. C., Sauza, R. R., and Tambougi, E. B. 2005. Optimization of drying process zea mays malt to use as alternative source of amyloytic enzymes Brazilian Archives of Biology and Technology, 48: 185-190.
- Briggs, D. E., 1998, Malt and Malting. Blackie Academic and Professional. London. 79 p.
- Celuse, I. Brijs, K. and Delcour, A., 2006, The effect of malting and mashing on barley protein extractability. *Journal of Cereal Science*, 44(2), 203-211.
- Curvelo Santana, J. C., Araújo, S. A., Librantz, A. F. H. and Tambourgi, E. B. 2010. Optimization of Corn Malt Drying by Use of a Genetic Algorithm, *Journal of Drying Technology*, 28: 1236-1244.
- Dendy, D. A. V. and Dobraszczyk, B. J., 2001, Cereal and products: chemistry and technology. Aspen Publishers, Inc, 423 p.
- Fernandes, A. M., Oliveira P., Moura J. P., Oliveira A. A., Falco V., Correia M. J. and Melo-Pinto P. 2011. Determination of Anthocyanin Concentration in Whole Grape Skins Using Hyperspectral Imaging and Adaptive Boosting Neural Networks. *Journal of Food Engineering*, In press.
- Goni, S. M., Oddone S., Segura J. A., Mascheroni R. H. and Salvadori V. O. 2008. Prediction of foods freezing and thawing times: Artificial neural networks and genetic algorithm approach. *Journal of Food Engineering*, 84: 164-178.
- Kashaninejad, M., Dehghani, A. A. and Kashiri, M., 2009, Modeling of wheat soaking using two artificial neural networks (MLP and RBF). *Journal of Food Engineering*, 91, 602-607.
- Koc, A. B., Heinemann P. H. and Ziegler G. R. 2007. Optimization of whole milk powder processing variables with neural networks and genetic algorithms. *Journal of Food and Bioproducts Processing*, 85: 336-343.
- Madadlou, A., Emam-Djomeh Z., Ebrahimzadeh Mousavi M., Ehsani M. R., Javanmard M. and Sheehan D. 2009. Response surface optimization of an artificial neural network for predicting the size of re-assembled casein micelles. *Journal of Computers and Electronics in Agriculture*, 68: 216-221.
- Mateo, F., Gadea R., Mateo E. M. and Jiménez M. 2011. Multilayer perceptron neural networks and radial-basis function networks as tools to forecast accumulation of deoxynivalenol in barley seeds contaminated with Fusarium culmorum. *Journal of Food Control*, 22: 88-95.
- Menlik, T., Özdemir M. B., and Kirmaci V. 2010. Determination of freeze-drying behaviors of apples by artificial neural network. *Journal of Expert Systems with Applications*, 37: 7669-7677.
- McCleary, B. V. and Shameer, I., 1987, Assay of β -glucanases using Azo Barley Glucan: an improved precipitant. *Journal of the Institute of Brewing*, 93, 87-90.
- Momenzadeh, L., Zomorodian A. and Mowla D. 2011. Experimental and theoretical investigation of shelled corn drying in a microwave-assisted fluidized bed dryer using artificial neural network. *Journal of food and bioproducts processing*, 89: 15-21.
- Moris, P. C., and Bryce, J. H. 2000. Cereal Biotechnology, Woodhead Publishing Limited. Washington. 237p.
- Osman, A. M., Coverdale, S. M., Cole, N., Hamilton, S. E., Jersey, J. D., and Inkerman, P. A. 2002. Characterisation and assessment of role of barley malt endoproteases during malting and mashing. *Journal of Institute of Brewing*, 108: 1. 62-67.
- Sablani, S. S., Shafiqur Rahman, M., Datta, A. K., and Mujumdar, A. S. 2007. Handbook of food and bioprocess modeling technology. CRC press. P 378-380.
- USDA. 2011, United States Department of Agriculture. Foreign Agricultural Service. Office of Global Analysis. International Production Assessment Division. Washington, DC, USA
- Wu, C. H. and McLarty, J. W., 2000 Neural Networks and Genome Informatics. Elsevier Publishing Co. USA.